

유한체 $GF(2^8)$ 상의 직/병렬 혼합 승산기 설계

^o조용석*, 박상규**

*영동공과대학교 전자공학부, **한양대학교 전자통신공학과

A Design of Serial-Parallel Multiplier over $GF(2^8)$

^oYong Suk Cho*, Sang Kyu Park**

*Faculty of Electronics Eng., Youngdong Institute of Technology

**Dept. of Electronic Communication Eng., Hanyang University

1. 서론

유한체(finite field or Galois field) 상의 연산은 오류정정 부호이론 및 암호이론 등의 분야에서 중심적인 역할을 하는 것으로, 이들 분야에서 널리 응용되고 있다. 특히 오류정정 부호 중 BCH 부호나 Reed-Solomon 부호와 같은 블록부호에서는 모든 연산이 유한체 $GF(2^m)$ 상에서 이루어진다. 따라서 유한체 $GF(2^m)$ 상의 연산을 얼마만큼 효율적으로 수행할 것인가 하는 문제는 부호화 및 복호화의 속도와 부/복호기의 하드웨어 량에 직접적으로 영향을 미치는 매우 기본적이고 중요한 요소이다.

유한체 $GF(2^m)$ 은 2^m 개의 원소(elements)를 가지고 있으며, 이들 각 원소들은 다항식표현(polynomial representation)과 지수표현(exponential representation)의 2가지 방법으로 표현할 수 있다^[1]. 지수표현을 이용하면 곱셈과 나눗셈은 각각 2진수의 덧셈과 뺄셈으로 대체되므로 쉽게 수행할 수 있는 반면에 덧셈이 복잡해지며, 다항식표현을 이용하면 덧셈은 각 비트 별 2원합(modulo-2 sum)으로 간단하게 수행되지만 곱셈과 나눗셈이 어려워지는 문제점이 있다. $GF(2^m)$ 의 위수(order) m 이 작은 경우에는 지수표현을 이용한 연산이 더 간단한 반면, m 이 커지면 지수표현 보다는 다항식표현을 이용한 연산이 더 적은 하드웨어로 구현할 수 있으며 고속처리가 가능하다.

따라서 다항식표현을 이용하여 곱셈과 나눗셈을 효율적으로 실행하기 위한 방법들이 집중적으로 연구되고 있다. 대표적인 것으로, 기존에 사용되던 표준기저(standard basis) 대신에 쌍대기저(dual basis)를 사용한 Berlekamp^[2]의 곱셈 알고리즘과, 정규기저(normal basis)를 사용한 Massey와 Omura^[3]의 곱셈 알고리즘을 들 수 있다. 이 알고리즘들은 다항식 기저를 적절히 변환하여 소요되는 하드웨어 및 지연시간을 줄이고자 하는 방법들로, 이들의 개선에 관한 많은 연구들이 발표되고 있다^{[4]-[7]}.

유한체 $GF(2^m)$ 상의 승산기는 조합회로를 사용한 병렬 승산기와 순서회로를 사용한 직렬 승산기로 구현할 수 있다. 병렬 승산기는 연산속도는 빠른 반면에 회로가 복잡해지며, 직렬 승산기는 회로는 간단하지만 m 클럭 시간의 지연이 불가피 해진다.

본 논문에서는 이러한 문제점을 해결할 수 있는 한 가지 방법으로, 직렬 승산기와 병렬 승산기를 혼합한 직/병렬 승산기를 제안한다. 본 방법은 유한체 $GF(2^m)$ 의 부분체(subfield) 상의 병렬 승산기를 이용하여 유한체 $GF(2^m)$ 상의 직렬 승산기를 구현하는 것이다. 이는 회로의 복잡도와 지연시간 사이의 적절한 절충을 꾀하는 것이다.

유한체 $GF(2^8)$ 상의 승산기는 CD나 DAT와 같은 정보저장 시스템과 Voyager 등의 위성통신 시스템, 최근 방송을 시작한 디지털 TV 등에서 사용되고 있는 실용상 매우 중요한 것이다. 본 논문에서는 유한체 $GF(2^2)$ 상의 병렬 승산기를 사용하여 유한체 $GF(2^8)$ 상의 승산기를 설계한다.

먼저 2장에서 $GF(2^2)$ 상에서 직렬 승산기와 병렬 승산기를 설계한다. 3장에서는 유한체 $GF(2^8)$ 을, 그것의 부분체인 $GF(2^2)$ 로 표현하고 2장에서의 논의를 기초로 $GF(2^8)$ 상의 직/병렬 혼합 승산기를 설계한다. 끝으로 4장에서 결론을 맺는다.

2. 유한체 $GF(2^2)$ 상의 승산기

α 를 유한체 $GF(2^m)$ 의 원시원(primitive element)이라 할 때 영원(zero element)을 제외한 2^m-1 개의 모든 원소들은 α 의 멱(power)으로 표현할 수 있다^[1]. 또 이 α 가 차수가 m 인 원시다항식(primitive polynomial)

$$f(x) = 1 + f_1x + \dots + f_{m-1}x^{m-1} + x^m, \quad f_i \in GF(2), \quad 1 \leq i \leq m-1 \quad (1)$$

의 근(root)이라고 하면, $f(\alpha) = 0$ 이므로

$$\alpha^m = 1 + f_1\alpha + \dots + f_{m-2}\alpha^{m-2} + f_{m-1}\alpha^{m-1} \quad (2)$$

가 되어 유한체 $GF(2^m)$ 의 각 원소들은 $m-1$ 차 이하인 α 의 다항식으로 표현할 수 있다. 이와 같은 표현방법을 다항식표현이라고 하며 이 다항식들의 계수만으로 나타내는 방법을 벡터표현이라고 한다. 지수표현은 α 의 멱을 2진수로 나타내는 것이다. 여기에서

$$\{1, \alpha, \alpha^2, \dots, \alpha^{m-2}, \alpha^{m-1}\} \quad (3)$$

를 유한체 $GF(2^m)$ 의 표준기저라고 한다.

예를 들어 유한체 $GF(2^2)$ 의 원시원을 β 라 하고, 원시다항식을

$$f(x) = 1 + x + x^2 \quad (4)$$

라 하면 $f(\beta) = 0$ 이므로 다음과 같이 된다.

$$\beta^2 = 1 + \beta \quad (5)$$

따라서 유한체 $GF(2^2)$ 의 원소들을 다항식표현과 지수표현으로 나타내면 표 1과 같이 된다.

역표현	다항식표현	벡터표현	지수표현
β^1	$\beta^0 \quad \beta^1$	$\beta^0 \quad \beta^1$	2 1
0	0	0 0	1 1
β^0	1	1 0	0 0
β^1	β	0 1	0 1
β^2	$1 + \beta$	1 1	1 0

표 1 $f(x) = 1 + x + x^2$ 일 때 $GF(2^2)$ 의 원소들의 표현

그러므로 유한체 $GF(2^2)$ 의 0이 아닌 임의의 두 원소 A 와 B 는

$$A = a_0 + a_1\beta = \sum_{i=0}^1 a_i\beta^i, \quad a_i \in GF(2) \tag{6}$$

$$B = b_0 + b_1\beta = \sum_{i=0}^1 b_i\beta^i, \quad b_i \in GF(2) \tag{7}$$

로 표현할 수 있으며, 이 두 원소의 곱 Z 는 다음과 같이 쓸 수 있다.

$$\begin{aligned} Z = A \cdot B &= A \cdot \left(\sum_{i=0}^1 b_i\beta^i \right) = \sum_{i=0}^1 b_i(A\beta^i) \\ &= b_0A + b_1(A\beta) \end{aligned} \tag{8}$$

식 (8)을 이용하면 유한체 $GF(2^2)$ 상의 승산기를 구성할 수 있다.

먼저 임의의 한 원소 A 에 원시원 β 를 곱하는 회로를 구성해 보자. 식 (6)과 같은 $GF(2^2)$ 의 임의의 한 원소 A 에 β 를 곱하면 다음과 같이 된다.

$$\begin{aligned} A\beta &= (a_0 + a_1\beta)\beta = a_0\beta + a_1\beta^2 = a_0\beta + a_1(\beta + 1) \\ &= a_1 + (a_0 + a_1)\beta \end{aligned} \tag{9}$$

식 (9)를 조합회로로 구성하면 그림 1의 (a)와 같이 되며, 순서회로로 구현하면 그림 1의 (b)와 같이 된다. 그림 1에서 \oplus 는 $GF(2)$ 상의 덧셈기로 1개의 2입력 Exclusive-OR(이하 XOR)로 구현할 수 있다.

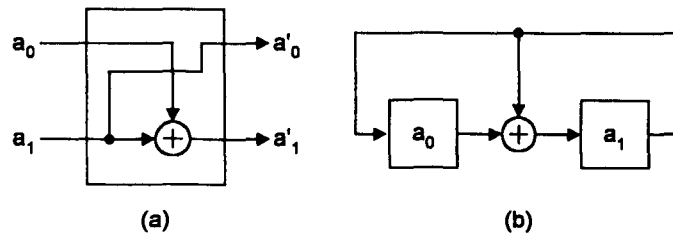


그림 1 $GF(2^2)$ 상의 임의의 한 원소에 β 를 곱하는 회로

식 (8)과 그림 1의 (a)를 이용하면 그림 2와 같은 병렬 승산기를 구성할 수 있다. 그림 2에서 \times 는 GF(2) 상의 승산기로 1개의 2입력 AND 게이트로 구현할 수 있다. 따라서 GF(2²) 상의 병렬 승산기는 2입력 AND 게이트 4개와 2입력 XOR 게이트 3개로 구현할 수 있다.

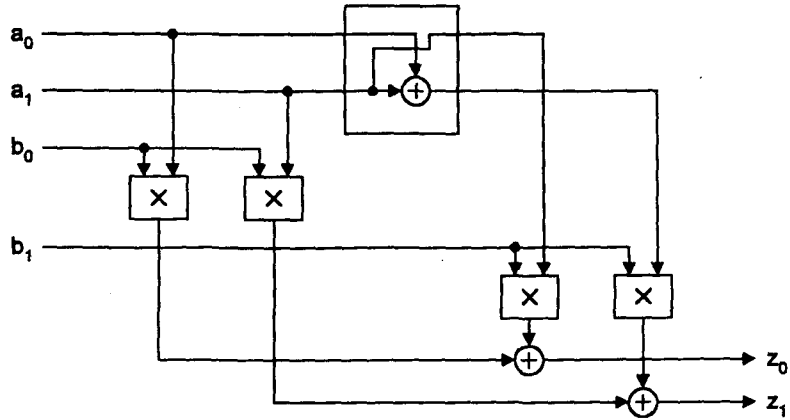


그림 2 GF(2²)상의 병렬 승산기

또 식 (8)과 그림 1의 (b)를 이용하면 그림 3과 같은 직렬 승산기를 구성할 수 있다. 그림 3에서 초기에 곱하고자 하는 두 수를 레지스터 A와 B에 로드하고 레지스터 Z는 클리어 시킨 다음, 클럭을 한 번 인가하면 레지스터 Z에는 b_0A 가 나타나고, 두 번 인가하면 $b_0A + b_1(A\beta)$ 가 나타나므로, 두 번 인가한 다음의 레지스터 Z의 값이 식 (8)과 같은 두 수를 곱한 결과가 된다.

그림 2와 그림 3의 승산기를 비교하면 그림 2와 같이 조합회로로 구현한 병렬 승산기는 지연시간이 짧은 반면에 m 이 커짐에 따라 회로가 급격히 복잡해지며, 그림 3과 같은 직렬 승산기는 m 이 커져도 회로가 비교적 간단한 반면 m 클럭 시간의 지연 후에 결과가 나오게 된다.

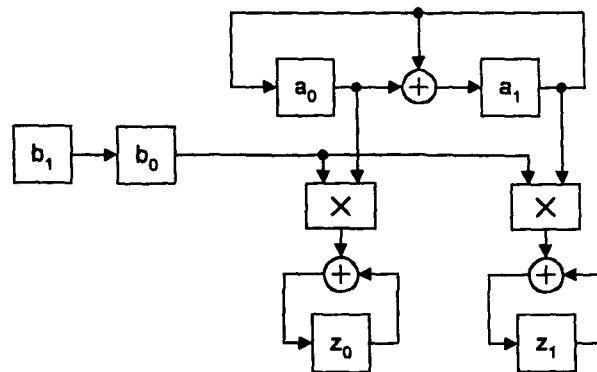


그림 3 GF(2²) 상의 직렬 승산기

3. 유한체 GF(2⁸) 상의 직/병렬 혼합 승산기 설계

유한체 GF(2⁸)의 원시원을 α 라 하고, 원시다항식을

$$f(x) = 1 + x^2 + x^3 + x^4 + x^8 \quad (10)$$

이라 하면, $f(\alpha) = 0$ 이므로 다음과 같이 된다.

$$\alpha^8 = 1 + \alpha^2 + \alpha^3 + \alpha^4 \quad (11)$$

따라서 유한체 GF(2⁸)의 0이 아닌 255개의 원소는, 다음과 같이 7차 이하인 α 의 다항식으로 나타낼 수 있다.

$$\begin{aligned} \alpha^0 &= 1 \\ \alpha^1 &= \alpha \\ &\vdots \\ \alpha^8 &= 1 + \alpha^2 + \alpha^3 + \alpha^4 \\ \alpha^9 &= \alpha + \alpha^3 + \alpha^4 + \alpha^5 \\ &\vdots \\ \alpha^{253} &= 1 + \alpha + \alpha^2 + \alpha^6 \\ \alpha^{254} &= \alpha + \alpha^2 + \alpha^3 + \alpha^7 \end{aligned} \quad (12)$$

즉 유한체 GF(2⁸)의 임의의 한 원소 U 는 다음과 나타낼 수 있다.

$$U = u_0 + u_1\alpha + u_2\alpha^2 + u_3\alpha^3 + u_4\alpha^4 + u_5\alpha^5 + u_6\alpha^6 + u_7\alpha^7, \quad u_i \in GF(2) \quad (13)$$

GF(2⁸)의 원시원 α 와 GF(2⁸)의 부분체인 GF(2²)의 원시원 β 는

$$\beta^3 = 1 = \alpha^{255} \quad (14)$$

과 같은 관계가 성립하므로 β 를 GF(2⁸) 상의 원소로 나타내면 다음과 같이 된다.

$$\beta = \alpha^{85} \quad (15)$$

따라서 유한체 GF(2⁸)의 부분체인 GF(2²)의 0이 아닌 3개의 원소는 $\beta^0 = \alpha^0$, $\beta = \alpha^{85}$, $\beta^2 = \alpha^{170}$ 이 된다. 식 (15)는 일반적으로는 $\beta = \alpha^{85k}$ 이며, 여기에서는 $k=1$ 을 선택한 것이다. 여기에서 k 는 255와 서로 소(relative prime)인 임의의 정수이다.

유한체 GF(2⁸)은 GF(2²) 상의 4차 원시다항식을 이용하여 구성할 수 있다. α 가 $f(x)$ 의 근이므로 α 의 공액(conjugate)인 $\alpha^{2^{m-1}}$, 즉 $\alpha^2, \alpha^4, \alpha^8, \alpha^{16}, \alpha^{32}, \alpha^{64}, \alpha^{128}$ 도 $f(x)$ 의 근이 된다. 따라서 4차의 원시다항식 $f(x)$ 는 다음과 같이 쓸 수 있다.

$$f(x) = (x + \alpha)(x + \alpha^4)(x + \alpha^{16})(x + \alpha^{64}) \quad (16)$$

식 (12)를 이용하여 식 (16)을 풀어서 정리하면 다음과 같이 된다.

$$f(x) = \alpha^{85} + \alpha^{85}x + \alpha^{85}x^2 + x^3 + x^4 \quad (17)$$

식 (15)에 따라 $\alpha^{85} = \beta$ 이므로 $f(x)$ 를 GF(2²) 상의 다항식으로 표현하면

$$f(x) = \beta + \beta x + \beta x^2 + x^3 + x^4 \quad (18)$$

가 된다. 또 $f(\alpha) = 0$ 이므로 다음과 같이 쓸 수 있다.

$$\alpha^4 = \beta + \beta\alpha + \beta\alpha^2 + \alpha^3 \quad (19)$$

따라서 식 (19)와 표 1을 이용하면 유한체 $GF(2^6)$ 의 0이 아닌 모든 원소는, 다음과 같이 $GF(2^2)$ 상의 3차 이하인 α 의 다항식으로 표현할 수 있다.

$$\begin{aligned} \alpha^0 &= 1 \\ \alpha^1 &= \alpha \\ &\vdots \\ \alpha^4 &= \beta + \beta\alpha + \beta\alpha^2 + \alpha^3 \\ \alpha^5 &= (\beta + \beta\alpha + \beta\alpha^2 + \alpha^3)\alpha = \beta\alpha + \beta\alpha^2 + \beta\alpha^3 + \alpha^4 \\ &= \beta\alpha + \beta\alpha^2 + \beta\alpha^3 + (\beta + \beta\alpha + \beta\alpha^2 + \alpha^3) \\ &= \beta + (\beta + 1)\alpha^3 = \beta + \beta^2\alpha^3 \\ \alpha^6 &= (\beta + \beta^2\alpha^3)\alpha = \beta\alpha + \beta^2\alpha^4 = \beta\alpha + \beta^2(\beta + \beta\alpha + \beta\alpha^2 + \alpha^3) \\ &= \beta\alpha + \beta^3 + \beta^3\alpha + \beta^3\alpha^2 + \beta^2\alpha^3 = \beta\alpha + 1 + \alpha + \alpha^2 + \beta^2\alpha^3 \\ &= 1 + \beta^2\alpha + \alpha^2 + \beta^2\alpha^3 \\ &\vdots \\ &\vdots \end{aligned} \quad (20)$$

그러므로 유한체 $GF(2^6)$ 의 0이 아닌 임의의 두 원소 U 와 V 는

$$U = \bar{u}_0 + \bar{u}_1\alpha + \bar{u}_2\alpha^2 + \bar{u}_3\alpha^3, \quad \bar{u}_i \in GF(2^2) \quad (21)$$

$$V = \bar{v}_0 + \bar{v}_1\alpha + \bar{v}_2\alpha^2 + \bar{v}_3\alpha^3, \quad \bar{v}_i \in GF(2^2) \quad (22)$$

로 표현할 수 있으며 이 두 원소의 곱 Z 는 다음과 같이 쓸 수 있다.

$$\begin{aligned} Z &= U \cdot V \\ &= U \cdot (\bar{v}_0 + \bar{v}_1\alpha + \bar{v}_2\alpha^2 + \bar{v}_3\alpha^3) \\ &= \bar{v}_0U + \bar{v}_1(U\alpha) + \bar{v}_2(U\alpha^2) + \bar{v}_3(U\alpha^3) \end{aligned} \quad (23)$$

앞에서와 마찬가지로 먼저 임의의 한 원소 U 에 원시원 α 를 곱하는 회로를 구성하여 보자. 식 (21)과 같은 임의의 한 원소 U 에 원시원 α 를 곱하면

$$\begin{aligned} U \cdot \alpha &= \bar{u}_0\alpha + \bar{u}_1\alpha^2 + \bar{u}_2\alpha^3 + \bar{u}_3\alpha^4 \\ &= \bar{u}_0\alpha + \bar{u}_1\alpha^2 + \bar{u}_2\alpha^3 + \bar{u}_3(\beta + \beta\alpha + \beta\alpha^2 + \alpha^3) \\ &= \bar{u}_3\beta + (\bar{u}_0 + \bar{u}_3\beta)\alpha + (\bar{u}_1 + \bar{u}_3\beta)\alpha^2 + (\bar{u}_2 + \bar{u}_3)\alpha^3 \end{aligned} \quad (24)$$

가 되며, 이를 순서회로로 구현하면 그림 4와 같이 된다.

그림 4에서 모든 선은 2비트 선이며, \square 는 2비트 레지스터이고, \oplus 는 $GF(2^2)$ 상의 가산기로 2개의 2입력 XOR 게이트로 구현할 수 있다. 또 β 는 $GF(2^2)$ 상의 상수 β 를 곱하는 회로로 그림 1의 (a)와 같은 회로이다.

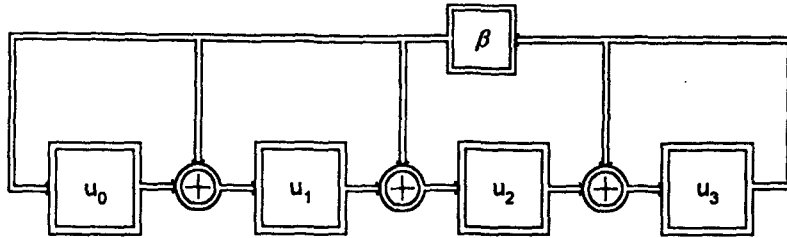


그림 4 $GF(2^8)$ 상에서 β 를 곱하는 회로

따라서 식 (24)와 그림 4를 이용하면 그림 5와 같은 $GF(2^8)$ 상의 직/병렬 승산기를 구성할 수 있다. 그림 3에서와 마찬가지로 그림 5에서도 초기에 곱하고자 하는 두 수를 레지스터 U 와 V 에 로드하고 레지스터 Z 는 클리어 시킨 다음, 클럭을 한 번 인가하면 레지스터 Z 에는 $\bar{v}_0 U$ 가 나타나고, 두 번 인가하면 $\bar{v}_0 U + \bar{v}_1(Ua)$ 가, ..., 네 번 인가하면 $\bar{v}_0 U + \bar{v}_1(Ua) + \bar{v}_2(Ua^2) + \bar{v}_3(Ua^3)$ 가 나타나므로, 4 클럭 타임만에 결과가 나오게 된다.

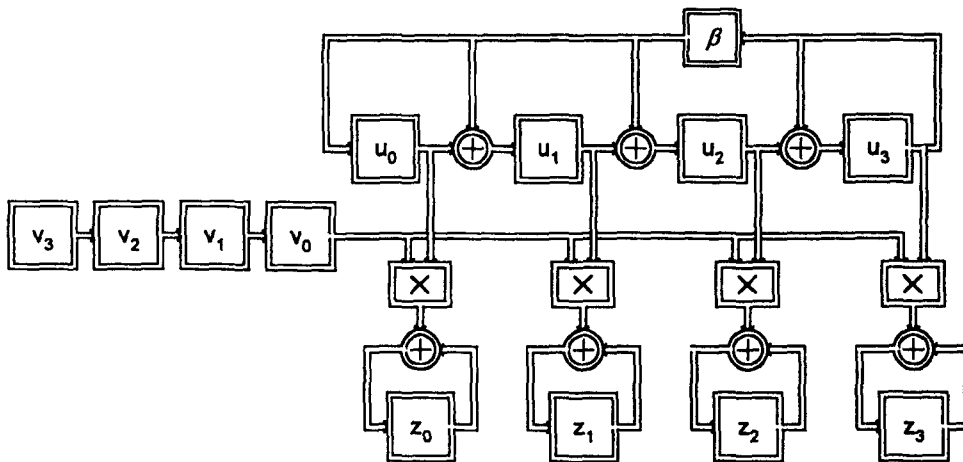


그림 5 $GF(2^8)$ 상의 직/병렬 혼합 승산기

그림 5에서 \boxtimes 는 $GF(2^2)$ 상의 병렬 승산기로 그림 2와 같은 회로이다. 그러므로 그림 5와 같은 $GF(2^8)$ 상의 직/병렬 혼합 승산기의 회로 규모는 표 2와 같이 정리할 수 있다. $GF(2^8)$ 상의 병렬 승산기는 일반적으로 1클럭 타임만에 결과를 얻을 수 있는 반면에 2입력 AND 64개와 2입력 XOR 73개가 소요된다¹⁸⁾. 직렬 승산기는 레지스터 24개, 2입력 AND 8개, 2입력 XOR 11개로 구현할 수 있으나 8 클럭 타임만에 결과가 나온다.

본 논문에서 제안한 직/병렬 혼합 승산기는 회로규모와 지연시간간을 적절히 절충하여 표 2와 같이 레지스터 24개, 2입력 AND 16개, 2입력 XOR 27개로 구현할 수 있으며 4 클럭 타임만에 결과를 얻을 수 있다.

표 2 $GF(2^8)$ 상의 직/병렬 혼합 승산기의 회로 규모

레지스터	$4 \times 3 \times 2 = 24$
$GF(2^2)$ 상의 병렬 승산기	2입력 AND : $4 \times 4 = 16$ 2입력 XOR : $3 \times 4 = 12$
$GF(2^2)$ 상의 가산기	2입력 XOR : $2 \times 7 = 14$
β 승산기	2입력 XOR : 1
합 계	레지스터 : 24 2입력 AND : 16 2입력 XOR : 27

식 (21)에서 $GF(2^2)$ 의 원소로 표현된 \bar{u}_i 를 $GF(2)$ 의 원소로 바꾸어 쓰면, $\beta = \alpha^{85}$ 이므로 다음과 같이 쓸 수 있다.

$$\begin{aligned}
 U &= \bar{u}_0 + \bar{u}_1\alpha + \bar{u}_2\alpha^2 + \bar{u}_3\alpha^3 \\
 &= (\bar{u}_0 + \bar{u}_1\beta) + (\bar{u}_2 + \bar{u}_3\beta)\alpha + (\bar{u}_4 + \bar{u}_5\beta)\alpha^2 + (\bar{u}_6 + \bar{u}_7\beta)\alpha^3 \quad (25) \\
 &= \bar{u}_0 + \bar{u}_1\alpha^{85} + \bar{u}_2\alpha + \bar{u}_3\alpha^{86} + \bar{u}_4\alpha^2 + \bar{u}_5\alpha^{87} + \bar{u}_6\alpha^3 + \bar{u}_7\alpha^{88}
 \end{aligned}$$

또 이를 식 (12)를 이용하여 정리하면 다음과 같이 된다.

$$\begin{aligned}
 U &= \bar{u}_0 + \bar{u}_1(\alpha + \alpha^2 + \alpha^4 + \alpha^6 + \alpha^7) + \bar{u}_2\alpha + \bar{u}_3(1 + \alpha^4 + \alpha^5 + \alpha^7) + \bar{u}_4\alpha^2 + \bar{u}_5 \\
 &\quad (1 + \alpha + \alpha^2 + \alpha^3 + \alpha^4 + \alpha^5 + \alpha^6) + \bar{u}_6\alpha^3 + \bar{u}_7(\alpha + \alpha^2 + \alpha^3 + \alpha^4 + \alpha^5 + \alpha^6 + \alpha^7) \\
 &= (\bar{u}_0 + \bar{u}_3 + \bar{u}_5) + (\bar{u}_1 + \bar{u}_2 + \bar{u}_5 + \bar{u}_7)\alpha + (\bar{u}_1 + \bar{u}_4 + \bar{u}_5 + \bar{u}_7)\alpha^2 \\
 &\quad + (\bar{u}_5 + \bar{u}_6 + \bar{u}_7)\alpha^3 + (\bar{u}_1 + \bar{u}_3 + \bar{u}_5 + \bar{u}_7)\alpha^4 + (\bar{u}_3 + \bar{u}_5 + \bar{u}_7)\alpha^5 \quad (26) \\
 &\quad + (\bar{u}_1 + \bar{u}_5 + \bar{u}_7)\alpha^6 + (\bar{u}_1 + \bar{u}_3 + \bar{u}_7)\alpha^7
 \end{aligned}$$

따라서 식 (26)을 이용하면 다음과 같이, 표준기저로 표현된 $GF(2^8)$ 의 원소들을 $GF(2^2)$ 상의 기저 표현으로 변환할 수 있다.

$$\begin{aligned}
 \bar{u}_0 &= \bar{u}_0 + \bar{u}_3 + \bar{u}_5 \\
 \bar{u}_1 &= \bar{u}_1 + \bar{u}_2 + \bar{u}_5 + \bar{u}_7 \\
 \bar{u}_2 &= \bar{u}_1 + \bar{u}_4 + \bar{u}_5 + \bar{u}_7 \\
 \bar{u}_3 &= \bar{u}_5 + \bar{u}_6 + \bar{u}_7 \\
 \bar{u}_4 &= \bar{u}_1 + \bar{u}_3 + \bar{u}_5 + \bar{u}_7 \\
 \bar{u}_5 &= \bar{u}_3 + \bar{u}_5 + \bar{u}_7 \\
 \bar{u}_6 &= \bar{u}_1 + \bar{u}_5 + \bar{u}_7 \\
 \bar{u}_7 &= \bar{u}_1 + \bar{u}_3 + \bar{u}_7
 \end{aligned} \tag{27}$$

또한 식 (27)을 선형 조합하면 다음과 같이 역변환도 할 수 있다.

$$\begin{aligned}
 \bar{u}_0 &= u_0 + u_6 + u_7 \\
 \bar{u}_1 &= u_4 + u_5 \\
 \bar{u}_2 &= u_1 + u_6 \\
 \bar{u}_3 &= u_4 + u_6 \\
 \bar{u}_4 &= u_2 + u_6 \\
 \bar{u}_5 &= u_4 + u_7 \\
 \bar{u}_6 &= u_3 + u_4 + u_5 + u_6 \\
 \bar{u}_7 &= u_5 + u_6 + u_7
 \end{aligned} \tag{28}$$

식 (27) 및 식 (28)과 같은 변환 및 역변환은 각각 10개의 2입력 XOR로 구현할 수 있다.

4. 결 론

본 논문에서는 표준기저 상에서 $GF(2^2)$ 상의 병렬 승산기를 이용하여 $GF(2^8)$ 상의 직/병렬 혼합 승산기를 설계하였다. 제안된 승산기는 직렬 승산기의 긴 지연시간과 병렬 승산기의 복잡한 회로 사이를 적절하게 절충함으로써, 직렬 승산기 보다는 짧은 지연시간에 결과를 얻을 수 있으며 병렬 승산기 보다는 적은 회로로 구현할 수 있는 장점이 있다.

본 논문에서 사용한 유한체 상의 부분체를 이용한 연산 방법은 유한체 상의 승산뿐만 아니라 역원의 계산에도 매우 효율적으로 응용될 수 있을 것으로 생각된다.

참 고 문 헌

- [1] 이 만 영, *BCH 부호와 Reed-Solomon 부호*, 민음사, 1988
- [2] E. R. Berlekamp, "Bit-Serial Reed-Solomon Encoders," *IEEE Trans. Information Theory*, Vol.28, pp.869~874, Nov. 1982.
- [3] J. L. Massey and J. K. Omura, "Computational Method and Apparatus for Finite Field Arithmetic," U. S. Patent Application, Submitted 1981.
- [4] T. K. Truong, L. J. Deutsch, I. S. Reed, I. S. Hsu, K. Wang, and C. S. Yeh, "The VLSI Implementation of a Reed-Solomon Encoder Using Berlekamp's Bit-Serial Multiplier Algorithm," *IEEE Trans. Computers*, Vol.33, No.10, pp.906~911, Oct. 1984.
- [5] M. A. Hasan and V. K. Bhargava, "Division and Bit-Serial Multiplication over $GF(q^m)$," *IEE Proc. E.*, Vol.139, pp.230~236, May 1992.
- [6] C. C. Wang, T. K. Truong, H. M. Shao, L. J. Deutsch, J. K. Omura, and I. S. Reed, "VLSI Architectures for Computing Multiplications and Inverses in $GF(2^m)$," *IEEE Trans. Computers*, Vol.34, No.8, pp.709~716, Aug. 1985.
- [7] S. T. J. Fenn, M. Benaissa and D. Taylor, "Fast normal basis inversion in $GF(2^m)$," *Electronics Letters*, Vol.32, No.17, pp.1566~1567, Aug. 1996.
- [8] A. M. Patel, "On-the-fly decoder for multiple byte errors," *IBM J. RES. DEVELOP.*, Vol. 30, No.3, pp.259~269, May 1986.